



وزارت علوم، تحقیقات و فناوری

## دانشگاه تفرش

دانشکده مهندسی برق

پایان نامه کارشناسی ارشد

طراحی و شبیه‌سازی تقویت‌کننده کم نویز چنداستانداردی

با قابلیت پیگربندی مجدد

اساتید راهنما:

دکتر مهدی جعفری پناه

دکتر علی محمد فتوحی

استاد مشاور:

مهندس علی پوزیاد

دانشجو:

علی نبی‌زاده نظرلو

بِسْمِ اللَّهِ الرَّحْمَنِ الرَّحِيمِ

وزارت علوم، تحقیقات و فناوری

## دانشگاه تفرش

دانشکده مهندسی برق

### پایان نامه کارشناسی ارشد

طراحی و شبیه‌سازی تقویت‌کننده کم نویز چنداستانداردی

با قابلیت پیگربندی مجدد

اساتید راهنما:

دکتر مهدی جعفری پناه

دکتر علی محمد فتوحی

استاد مشاور:

مهندس علی پوزیاد

دانشجو:

علی نبی‌زاده نظرلو

۱۳۹۱

لعد کم

در مادر و همسر عیانم

۴

از پدر و مادر بزرگوار و فداکار مهندس نهایت مشکر را دارم. آن کهکه همترین انسان هاد نزدی من بوده اند، بزرگترین معلمان نزدی -

ام. حیات ها و پشتیبانی بی دین ایشان بزرگترین سرمایه نزدی ام بوده است و محبت مینهایشان برایم قابل جهان نیست.

از همسر مهربانم که همیشه پشتیبان من بوده و همواره به من اگلیزه داده اند، نهایت مشکر را دارم.

لازم می دانم از کلیه زحماتی که خانواده ام و استادید محترم گروه مهندسی برق - الکترونیک دانشگاه های تبریز و تفرش که در طی

دوره های کارشناسی و کارشناسی ارشد، برای اینجانب متصل شده و به چنین دوست گرامی اقتدرم جناب آقای مهندس امیر

سلطانلو، مشکر و سپاسگزاری نایم.

بهرترین مشکراتم را تقدیم به استادید ارجمندم، دکتر مهدی جعفری پناه، دکتر علی محمد فتوحی و دکتر علی پور زیاد می نایم که در طول

این دوره تحصیلی با صبر و حوصله یاریم نموده و همواره پشتیبان و راهگشایم بوده اند و زحمت راهنمایی این پیمان نامه را برعده

داشته‌اند، سپاسگزاری می کنم.

## چکیده

**كلمات کلیدی:** گیرنده رادیویی، تقویت‌کننده کم نویز، CMOS، پارامترهای پراکندگی، چنداستانداردی.

در این پایان‌نامه یک مدار LNA با قابلیت پیکربندی مجدد برای استانداردهای بی‌سیم طراحی شده است. برای طراحی این مدار یک طیف فرکانسی ۴ الی ۶ گیگاهرتز در نظر گرفته شده است و یک تقویت‌کننده با قابلیت پیکربندی مجدد برای این طیف فرکانسی طراحی شده است. این طیف فرکانسی، استانداردهایی مانند WLAN، Wi-Fi و Bluetooth LAN را پوشش می‌دهد.

فراهم کردن بهره ولتاژ بالا هم‌زمان با القای نویز کم به سیگنال توسط مدار و همچنین تطبیق امپدانس مناسب در محدوده فرکانسی مورد نظر، مهمترین چالش این پایان‌نامه است. برای ایجاد بهره مطلوب در باند فرکانسی مورد نظر از دو طبقه LNA متوالی استفاده شده است. ضمناً برای حصول تطبیق امپدانس مطلوب در باند فرکانسی مورد نظر از یک شبکه تطبیق امپدانس استفاده شده است.

Advanced LNA طراحی شده در این پایان‌نامه، در تکنولوژی RF CMOS  $0.24\ \mu m$  با استفاده از نرم‌افزار Design System 2011.01 شبیه‌سازی شده است. یک تقویت‌کننده کم‌نویز مطلوب باید از نظر پارامترهای پراکندگی ( $S$ ) دارای  $S_{21}$  بزرگتر از  $10\text{dB}$  برای بهره زیاد،  $S_{11}$  و  $S_{22}$  کوچکتر از  $-10\text{dB}$  برای تطبیق مطلوب امپدانس ورودی و خروجی،  $S_{12}$  کوچکتر از  $-40\text{dB}$  برای پایداری و ایزولاسیون معکوس بزرگ و در نهایت عدد نویز (NF) کوچکتر از  $4\text{dB}$  باشد. برای LNA طراحی شده در این پایان‌نامه مقادیر  $NF \leq 1.6\text{dB}$ ،  $S_{22} \leq -19.13\text{ dB}$ ،  $S_{12} \leq -48\text{ dB}$ ،  $S_{21} \geq 26.98\text{ dB}$  مطلوب و قابل قبول هستند.

## فهرست

فصل اول: مقدمه و بررسی پیشینه پژوهش	۱
۱-۱- مقدمه	۱
۲-۱- نویز	۱
۲-۱-۱- نویز حرارتی	۱
۲-۱-۲- نویز گیت القا شده	۱
۲-۱-۳- نویز فلیکر	۱
۲-۱-۴- منابع دیگر نویز	۱
۳-۱- مفاهیم پایه CMOS LNA	۱
۳-۱-۱- اثر غیراستاتیک	۱
۳-۱-۲- تئوری نویز دو پایانه‌ای	۱
۴-۱- ملزومات و پارامترهای مهم LNA	۱
۴-۱-۱- تطبیق امپدانس	۱
۴-۱-۲- عدد نویز	۱
۴-۱-۳- بهره	۱
۴-۱-۴- حساسیت	۱
۴-۱-۵- اثرات غیرخطی	۱
۴-۱-۶- پارامترهای S	۱
۴-۱-۷- پایداری	۱

۳۴	۶-۱- تطبیق امپدانس در طراحی LNA
۳۵	۶-۱-۱- مقاومت موازی در ورودی LNA
۳۶	۶-۱-۲- فیدبک سری - موازی
۳۹	۶-۱-۳- ورودی گیت مشترک
۳۳	۶-۱-۴- ساختار سلف در سورس (Inductive Source Degeneration)
۴۴	۷-۱- ساختارهای تفاضلی
۳۷	۸-۱- معرفی مدارهای تقویت کننده کم نویز چند استانداردی
۳۷	۸-۱-۱- تقویت کننده برای دو استاندارد IEEE802.11a/b
۴۷	۸-۱-۲- تقویت کننده برای استانداردهای CDMA/WCDMA
۴۲	۸-۱-۳- تقویت کننده BLUETOOTH و DECT برای inductive source degeneration
۴۳	۸-۱-۴- طراحی تقویت کننده برای دو استاندارد DCS1800 و W-CDMA
۵۱	۸-۱-۵- تقویت کننده استانداردهای IEEE802.11a/b
۵۴	۸-۱-۶- تقویت کننده استانداردهای GPS و UMTS
۵۶	۸-۱-۷- تقویت کننده برای IEEE802.11a/b
۵۸	۸-۱-۸- تقویت کننده با استفاده از فیدبک ولتاژ- ولتاژ و تکنیک چند استانداردی کردن
۶۱	۸-۱-۹- معرفی مدارهای تقویت کننده پهن باند
۶۱	۱۰-۱- سیستم های میکروالکترو مکانیکی MEMS
۷۱	فصل دوم: مواد و روش ها
۶۷	۱-۲- انتخاب تکنولوژی
۷۲	۲-۲- ساختارهای LNA در تکنولوژی BJT
۷۵	۲-۳- خصوصیات ساختارهای CMOS LNA

۱-۳-۲- تطبيق ورودی	۷۶
۲-۳-۲- عدندنیز	۷۸
۲-۳-۳- خطی بودن	۸۰
۴-۳-۲- بهره	۸۲
۵-۳-۲- ایزواسیون معکوس و پایداری	۸۲
۶-۳-۲- نقطه فشردگی ۱-dB	۸۲
۷-۳-۲- نقطه تقاطع مرتبه سوم ( $IIP3$ )	۸۳
۸-۳-۲- محدوده دینامیکی	۸۳
۹-۳-۲- هدایت انتقالی مؤثر	۷۷
<b>فصل سوم: تئوری و طراحی LNA چند استانداردی</b>	<b>۹۲</b>
۱-۳- اهداف طراحی و انتخاب ساختار	۹۴
۲-۳- طراحی LNA پیشنهادی	۹۴
۲-۲-۳- طراحی هسته LNA	۹۵
۲-۲-۳- طراحی و شبیه‌سازی دو طبقه متوالی LNA	۱۰۳
۳-۲-۳- شبیه‌سازی LNA پیشنهادی پایان نامه	۱۱۰
۴-۳- جدول مقایسه	۱۱۷
۴-۴- نتیجه‌گیری	۱۱۸
۴-۵- پیشنهاد برای کارهای بعدی	۱۱۹
مراجع	۱۲۰

## فهرست اشکال

..... ۴	شكل(۱-۱) مدل سیگنال کوچک نویز حرارتی
..... ۵	شكل(۲-۱) مدل سیگنال کوچک نویز گیت القا شده
..... ۷	شكل(۳-۱) منابع نویز در ترانزیستور MOS
..... ۸	شكل(۴-۱) مدل سیگنال کوچک MOS همراه با اثر NQS
..... ۱۰	شكل(۵-۱) مدل نویزی شبکه دو پایانه‌ای
..... ۱۰	شكل(۶-۱) مدل بدون نویز شبکه دو پایانه‌ای
..... ۱۵	شكل(۷-۱) مدل سیگنال کوچک ترانزیستور MOS
..... ۱۷	شكل (۸-۱) عددنویز طبقات متوالی
..... ۲۰	شكل (۹-۱) نقطه فشردگی ۱-dB
..... ۲۱	شكل (۱۰-۱) تست دو سیگنال مجاور برای سیستم غیر خطی
..... ۲۳	شكل (۱۱-۱) نقطه تقاطع مرتبه سوم
..... ۲۵	شكل(۱۲-۱) شبکه دوپایانه‌ای
..... ۲۸	شكل (۱۳-۱) شرط تطبیق امپدانس
..... ۲۹	شكل (۱۴-۱) ساختار تطبیق امپدانس با مقاومت موازی در ورودی
..... ۳۰	شكل (۱۵-۱) ساختار تطبیق امپدانس با مقاومت فیدبک
..... ۳۰	شكل (۱۶-۱) ساختار Current Reuse LNA
..... ۳۱	شكل (۱۷-۱) روش خنثی‌سازی خازن گیت درین
..... ۳۳	شكل (۱۸-۱) ساختار تطبیق ورودی گیت مشترک
..... ۳۴	شكل (۱۹-۱) ساختار Inductive Source Degeneration و مدل سیگنال کوچک MOS
..... ۳۸	شكل (۲۰-۱) طرح LNA برای استانداردهای IEEE802.11a/b

۳۹	..... شکل (۲۱-۱) مقاومت معادل سلف.....
۴۱	..... شکل (۲۲-۱) LNA برای استانداردهای [12]CDMA/WCDMA
۴۲	..... شکل (۲۳-۱) تقویت کننده برای [13]DECT/BLUETOOTH
۴۴	..... شکل (۲۴-۱) تقویت کننده برای استانداردهای [14]DCS1800/W-CDM
۴۵	..... شکل (۲۵-۱) مدار برای استاندارد 802.11a/b
۴۵	..... شکل (۲۶-۱) مدار ورودی در فرکانس پایین .....
۴۵	..... شکل (۲۷-۱) مدار ورودی در فرکانس بالا .....
۴۶	..... شکل (۲۸-۱) تقویت کننده خود تطبیق دهنده برای استانداردهای 802.11a/b
۴۷	..... شکل (۲۹-۱) قسمت حقیقی امپدانس ورودی در برابر تغییر فرکانس .....
۴۸	..... شکل (۳۰-۱) تقویت کننده Current Reuse
۴۸	..... شکل (۳۱-۱) اساس طراحی تقویت کننده Current Reuse
۴۹	..... شکل (۳۲-۱) تقویت کننده دو استانداردی برای [18]802.11a/b
۵۱	..... شکل (۳۳-۱) نمای کلی تقویت کننده با استفاده از فیدبک ولتاژ - ولتاژ [19].....
۵۲	..... شکل (۳۴-۱) بار پیشنهادی تغییر شکل پذیر برای LNA با فیدبک در حالت Multi-Standard
۵۲	..... شکل (۳۵-۱) بار پیشنهادی برای LNA با فیدبک در حالت Multi-Standard
۵۳	..... شکل (۳۶-۱) نمونه ای از مدار تقویت کننده فیدبک ولتاژ - ولتاژ [19]
۵۴	..... شکل (۳۷-۱) ساختار LNA باند باریک [20]
۵۵	..... شکل (۳۸-۱) مدل سیگنال کوچک LNA
۵۵	..... شکل (۳۹-۱) مدار تقویت کننده پهن باند [20]
۵۶	..... شکل (۴۰-۱) مدل سیگنال کوچک LNA
۵۹	..... شکل (۴۱-۱) ورودی مدار Inductive source degeneration

- شکل (۴۲-۱) افزایش پهنهای فرکانسی در ورودی مدار [21] Inductive source deg ..... ۵۷
- شکل (۴۳-۱) امپدانس ورودی با افرودن LC موازی ..... ۵۸
- شکل (۴۴-۱) جریان و بار خروجی و نحوه طراحی بار برای تنظیم بهره مدار ..... ۵۹
- شکل (۴۵-۱) مدار LNA برای باند فرکانسی ۳ تا ۱۰ گیگا هرتز [21] ..... ۵۹
- شکل (۴۶-۱) مدار تقویت‌کننده برای فرکانس ۳ تا ۵ گیگا هرتز [22] ..... ۶۰
- شکل (۴۷-۱) مقایسه بین چند نمونه سوئیچ ..... ۶۱
- شکل (۴۸-۱) تحریک الکترواستاتیکی ..... ۶۲
- شکل (۴۹-۱) اتصال اهمی یا فلز به فلز MEMS ..... ۶۵
- شکل (۵۰-۱) حالت باز اتصال خازنی MEMS ..... ۶۵
- شکل (۵۱-۱) حالت بسته اتصال خازنی MEMS ..... ۶۵
- شکل (۲-۱) تقویت‌کننده امیتر مشترک [6] ..... ۶۷
- شکل (۲-۲) تقویت‌کننده کسکود [27] ..... ۶۷
- شکل (۲-۳) تقویت‌کننده بیس مشترک [6] ..... ۶۸
- شکل (۲-۴) تقویت‌کننده گیت مشترک [28] ..... ۷۰
- شکل (۵-۲) تقویت‌کننده با ساختار IDCS ..... ۷۱
- شکل (۱-۳) ساختار LNA سورس مشترک ..... ۹۳
- شکل (۲-۳) ساختار LNA پیشنهادی ..... ۹۴
- شکل (۳-۳) ساختار هسته LNA ..... ۹۶
- شکل (۳-۴) نمودار تطبیق امپدانس ورودی هسته LNA ..... ۱۰۱
- شکل (۳-۵) نمودار قسمت حقیقی و موهومی امپدانس ورودی هسته LNA ..... ۱۰۱
- شکل (۶-۳) نمودار بهره هسته LNA ..... ۱۰۲

..... شکل (۳-۷) نمودار ایزوالاسیون معکوس هسته LNA	۱۰۲
..... شکل (۳-۸) نمودار تطبیق امپدانس خروجی هسته LNA	۱۰۲
..... شکل (۳-۹) نمودار عددنویز هسته LNA	۱۰۳
..... شکل (۳-۱۰) ساختار دو طبقه متواالی LNA	۱۰۴
..... شکل (۳-۱۱-الف) نمودار تطبیق امپدانس ورودی ( $S_{11}$ ) دو طبقه متواالی	۱۰۴
..... شکل (۳-۱۱-۳) نمودار قسمت حقیقی و موهومی دو طبقه متواالی	۱۰۵
..... شکل (۳-۱۲) نمودار بهره دو طبقه متواالی	۱۰۵
..... شکل (۳-۱۳) نمودار ایزوالاسیون معکوس دو طبقه متواالی	۱۰۶
..... شکل (۳-۱۴) نمودار عددنویز دو طبقه متواالی	۱۰۶
..... شکل (۳-۱۵) مدل سیگنال کوچک شبکه تطبیق ورودی	۱۰۸
..... شکل (۳-۱۶) نمودارهای قسمت حقیقی و موهومی امپدانس ورودی شبکه تطبیق	۱۰۹
..... شکل (۳-۱۷) نمودارهای تطبیق امپدانس ورودی LNA پیشنهادی	۱۱۰
..... شکل (۳-۱۸) نمودار بهره LNA پیشنهادی	۱۱۰
..... شکل (۳-۱۹) نمودار ایزوالاسیون معکوس LNA پیشنهادی	۱۱۱
..... شکل (۳-۲۰) نمودار عددنویز LNA پیشنهادی	۱۱۱
..... شکل (۳-۲۱) نمودار تطبیق امپدانس خروجی LNA پیشنهادی	۱۱۲
..... شکل (۳-۲۲) مدل کلی سلف RF MEMS	۱۱۲
..... شکل (۳-۲۳) مدار LNA پایاننامه با در نظر گرفتن مدل سلف $L_g$	۱۱۳
..... شکل (۳-۲۴) تطبیق ورودی LNA پیشنهادی پایاننامه با در نظر گرفتن مدل کلی $L_g$	۱۱۴
..... شکل (۳-۲۵) بهره LNA پیشنهادی پایاننامه با در نظر گرفتن مدل کلی $L_g$	۱۱۵
..... شکل (۳-۲۶) ایزوالاسیون معکوس LNA پیشنهادی پایاننامه با در نظر گرفتن مدل کلی $L_g$	۱۱۵

شکل (۲۷-۳) تطبیق خروجی LNA پیشنهادی پایاننامه با در نظر گرفتن مدل کلی  $L_g$  ۱۱۶.....

شکل (۲۸-۳) عدد نویز LNA پیشنهادی پایاننامه با در نظر گرفتن مدل کلی  $L_g$  ۱۱۶.....

شکل (۲۸-۴) عدد نویز LNA پیشنهادی پایاننامه با در نظر گرفتن مدل کلی  $L_g$  ۱۱۶.....

## فهرست جداول

۳۶	جدول (۱-۱) مقایسه ساختارهای تطبیق امپدانس ورودی
۴۰	جدول (۲-۱) مشخصه‌های LNA طراحی شده برای ۸۰۲.۱۱a/b
۴۲	جدول (۳-۱) مشخصه‌های LNA طراحی شده برای CDMA/WCDMA
۴۳	جدول (۴-۱) مشخصه‌های LNA طراحی شده برای DECT/BLUETOOTH
۴۴	جدول (۵-۱) حالت سوئیچ‌ها برای کارکرد مدار DCS1800/W-CDMA
۴۵	جدول (۶-۱) مشخصه‌های LNA طراحی شده برای DCS1800/W-CDMA
۴۶	جدول (۷-۱) مشخصه‌های LNA طراحی شده برای ۸۰۲.۱۱a/b
۴۸	جدول (۸-۱) مشخصه‌های مدار خودتطبیق برای ۸۰۲.۱۱a/b
۵۰	جدول (۹-۱) مشخصه‌های مدار در دو باند ۲.۴ GHz و ۵.۲۵GHz
۶۰	جدول (۱۰-۱) مشخصه‌های گیرنده ۳ تا ۵ گیگاهرتز [22]
۶۴	جدول (۱-۲) مقایسه بهره و نویز ترانزیستورهای مکروویو [25]
۱۰۰	جدول (۱-۳) مقادیر اجزای طبقه کسکودی LNA
۱۱۳	جدول (۲-۳) مقادیر اجزای LNA پیشنهادی پایان‌نامه
۱۱۷	جدول (۳-۳) مقایسه مشخصه مدار طراحی شده با دیگر طرح‌های ارائه شده

## فصل اول

### مقدمه و بررسی پیشینه پژوهش

#### ۱-۱- مقدمه

تقویت‌کننده کم‌نویز (LNA)<sup>۱</sup> یکی از اجزای مهم در طراحی گیرنده‌های فرکانس بالا است. LNA نقش مهمی در نویز کلی سیستم گیرنده دارد و با توجه به اینکه اولین طبقه از یک گیرنده امواج رادیویی است و نویز ناشی از آن مستقیماً به نویز کلی گیرنده افزوده می‌شود. پس این طبقه هم‌مان با تقویت سیگنال ورودی باید کمترین نویز ممکن را ایجاد نماید. البته طراحی LNA با بهره کافی، برای کاهش نویز طبقات بعدی (مانند میکسر) لازم است. در سال‌های اخیر، گیرنده‌هایی با قابلیت پشتیبانی از چندین استاندارد مختلف مورد توجه قرار گرفته است. استانداردها مشخصه‌های مختلف انتقال اطلاعات، مانند فرکانس کاری، نوع مدولاسیون، نوع داده، میزان نویز قابل قبول و.... را شامل می‌شوند.

---

<sup>1</sup>Low Noise Amplifier

ساده‌ترین روش برای طراحی این نوع گیرنده‌ها پیاده سازی استانداردها در مسیرهای موازی است که با سوئیچ و به وسیله دستورهای واحد کنترل، استاندارد کاری گیرنده تغییر می‌کند. برای طراحان این نوع مدارها، کاهش مساحت تراشه و در نتیجه هزینه ساخت و نیز کاهش توان مصرفی مهمترین هدف است. اشتراک در سخت افزار یکی از روش‌های رسیدن به این هدف است و در این راه، تقویت‌کننده کم‌نویز به عنوان اولین طبقه گیرنده، نقش مهمی دارد.

طراحی تقویت‌کننده کم‌نویز، با توجه به موقعیت آن در مدار با بعضی محدودیت‌ها روبرو است که با پیچیده شدن مدار و افزایش استانداردهای کاری این محدودیت‌ها افزایش خواهد یافت. برای طراحی تقویت‌کننده کم‌نویز در گیرنده‌های با قابلیت کار در چند استاندارد مختلف، روش‌های زیادی پیشنهاد شده است. برای این نوع تقویت‌کننده‌ها دو نوع طراحی در حالت کلی وجود دارد:

اول- طراحی تقویت‌کننده باریک‌باند، به طوریکه تقویت فقط در باندهای استانداردهای کاری تقویت‌کننده باشد و فقط در این باندها مشخصه‌های تقویت‌کننده شامل امپدانس ورودی، بهره، حداقل عدد نویز، خطی بودن و ... رعایت شوند.

دوم- طراحی تقویت‌کننده پهن‌باند، مانند تقویت‌کننده UWB<sup>2</sup> که در این نوع تقویت‌کننده برای یک پهنهای وسیع فرکانسی که شامل فرکانس استانداردهای مطلوب نیز است، طراحی انجام می‌شود.

## ۱-۲- نویز

نویز، کمترین سطح سیگنالی که به ازای آن مدار می‌تواند با کیفیت مطلوب عمل کند را محدود می‌کند. طراحان آنالوگ امروزی به طور دائم با مشکل نویز روبرو هستند، زیرا نویز همیشه در مقابل مصرف توان، سرعت و خطی بودن قرار می‌گیرد.

<sup>2</sup>Ultra Wide Band

در این بخش، نویز و تاثیر آن در مدارهای آنالوگ بررسی می‌شود. هدف، فراهم کردن درک کافی از مسئله به گونه‌ای است که بتوان نویز را در مدارهای آنالوگ مانند دیگر پارامترها چون بهره، مقاومت ورودی و خروجی و ... به حساب آورد.

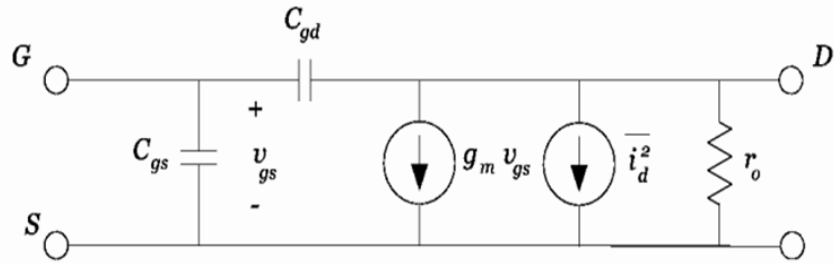
در مدارهای آنالوگ دو نوع نویز مطرح می‌شود که عبارتند از: نویز تداخلی و نویز ذاتی. نویز تداخلی نتیجه اثر مقابله ناخواسته میان مدار و دنیای خارج و یا میان قسمتهای مختلف یک مدار است. این نوع نویز، ممکن است بصورت سیگنالهای تصادفی ظاهر شود و یا بدین صورت ظاهر نگردد. مثالهایی از این نوع نویز، نویز منبع تغذیه بر روی سیمهای زمین و یا تداخل الکترو مغناطیسی میان سیمهای است. نویز تداخلی را می‌توان با دقت در سیم-کشی مداری و تهیه طرح‌بندی مناسب، بطور قابل ملاحظه‌ای کاهش داد.

مهم نویز در ترانزیستورهای CMOS اشاره می‌شود.

بطور قابل ملاحظه‌ای، با تغییر ساختار مدار و یا افزایش مقدار مصرف توان، کاهش داد. در این بخش به منابع ذاتی، نویز از نوع حرارتی، نویز ضربه‌ای و نویز فلیکر(flicker) است. نویز ذاتی را می‌توان با طراحی مناسب، نمی‌توان آنها را کاملاً حذف نمود چرا که این نویز، از خواص اساسی مدارها ناشی می‌شود. مثالهایی از نویز بر عکس، نویز ذاتی به سیگنال‌های نویز تصادفی بر می‌گردد به گونه‌ای که این سیگنال‌ها را می‌توان کاهش داد ولی

۱-۲-۱- نویز حرارتی

نویز حرارتی در نتیجه حرکت گرمایی- تصادفی حامل ها در کanal ناشی می شود که باعث ایجاد نوسان در ولتاژ اندازه گیری شده در طول هادی می شود [1]. بنابراین طیف نویز حرارتی با دمای مطلق متناسب است. به دلیل اینکه تا فرکانس های خیلی بالا (بالاتر از یک تراهرتز) چگالی طیفی توان آن در یک مقدار ثابت می ماند، معمولاً به صورت یک منبع نویز سفید است. نویز حرارتی معمولاً به صورت منبع جریان موازی با درین و سورس ترانزیستور مدل سازی می شود (شکل ۱-۱).



شکل(۱-۱) مدل سیگنال کوچک نویز حرارتی

چگالی طیف نویز حرارتی به صورت رابطه (۱-۱) به دست می‌آید.

$$\overline{i_{nd}^2} = 4kT\gamma g_{d0}\Delta f \quad (1-1)$$

که در رابطه فوق،  $g_{d0}$  هدایت انتقالی درین با ولتاژ درین سورس صفر است.  $\gamma$  ضریب نویز درین و پارامتری وابسته به تکنولوژی است که در ترانزیستورهای کانال بلند  $2/3$  و در تکنولوژی‌های جدید و کانال کوتاه بین  $2$  تا  $3$  است.

## ۱-۲-۲- نویز گیت القا شده

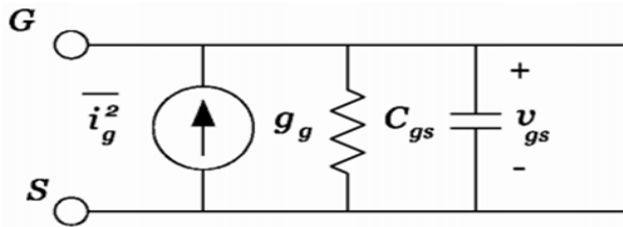
با یک نگاه دقیق به خواص نویز ترانزیستورهای MOS می‌توان فهمید که نویز ناشی از کانال ترانزیستور را نمی‌توان همه نویز ترانزیستورهای MOS تلقی کرد. نویز جریان گیت القا شده نیز طبق رابطه (۱-۲)، وابسته به فرکانس تعریف می‌شود.

$$\overline{i_{ng}^2} = 4kT\delta g_g \Delta f \quad (2-1)$$

که در آن،  $g_g$  هدایت انتقالی گیت است و به صورت رابطه (۱-۳) تعریف می‌شود.

$$g_g = \frac{\omega^2 C_{gs}^2}{5g_{d0}} \quad (3-1)$$

$\delta$  ضریب نویز گیت پارامتری وابسته به تکنولوژی است. این پارامتر اندازه  $4/3$  در کانال‌های بلند دارد، البته در ادوات کانال کوتاه دو برابر می‌شود. در شکل (۲-۱) مدل سیگنال کوچک گیت القا شده نشان داده شده است.



شکل (۱-۲) مدل سیگنال کوچک نویز گیت القا شده

نویز گیت القا شده به صورت جزئی با نویز گرمایی کanal ارتباط دارد و ضریب تاثیر متقابل طبق رابطه (۱-۴) تعریف می‌شود.

$$C = \frac{\overline{i_g} \times \overline{i_d}}{\sqrt{\overline{i_g^2} \times \overline{i_d^2}}} \quad (۱-۴)$$

که  $C$  عددی مختلط است و مقدار آن به صورت تئوری در ادوات کanal بلند حدود  $j_0 = 0.395$  است ولی برای ترانزیستورهای کanal کوتاه، مقدار  $j_0 = 0.5$ - را به صورت تجربی برای اندازه گیری نویز به کار می‌برند [3]. نویز القایی جریان گیت یک نویز گرمایی است که به وسیله نوسانهای محلی در کanal، از طریق تزویج خازنی در اکسید گیت القا می‌شود. نویز القایی گیت با مجدور فرکанс ( $f^2$ ) متناسب است. در حالیکه نویز درین مستقل از فرکانس است. این وابستگی فرکانسی باعث می‌شود که نویز القایی گیت در فرکانس‌های بالا بر عملکرد نویز MOSFET غلبه داشته باشد.

### ۱-۲-۳- نویز فلیکر

ارتباط بین اکسید گیت و بدن سیلیکونی در MOSFET پدیده جالبی را منجر می‌شود. نویز فلیکر که به نام نویز صورتی نیز شناخته می‌شود، در اثر گیر افتادن بارها در ناخالصی‌ها و عیوب ناحیه کanal ترانزیستورهای MOS ایجاد می‌شود. به عنوان یک قانون کلی ترانزیستور MOS بزرگتر، نویز فلیکر کمتری تولید خواهد کرد [2].

چگالی طیفی این نویز با رابطه (۱-۵) نشان داده می‌شود.